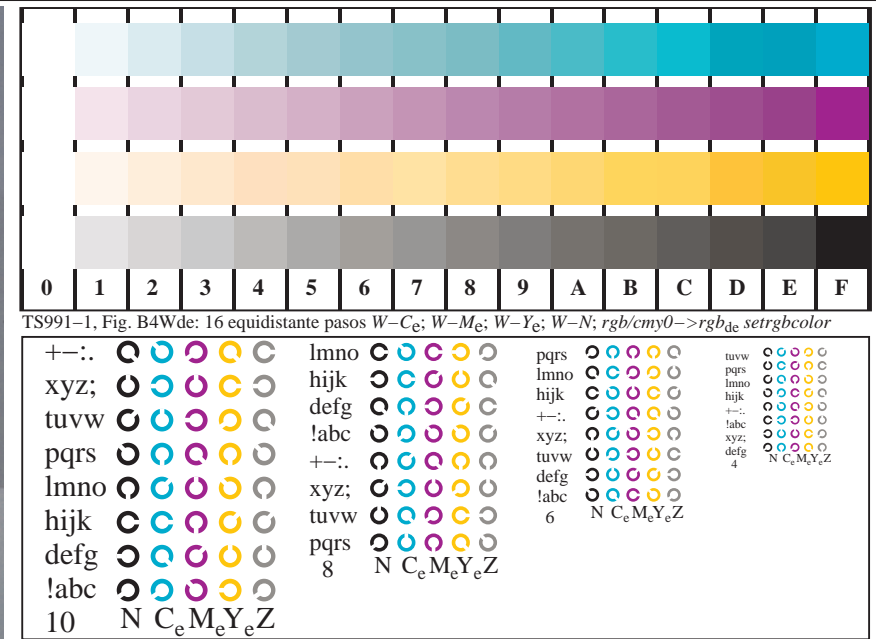


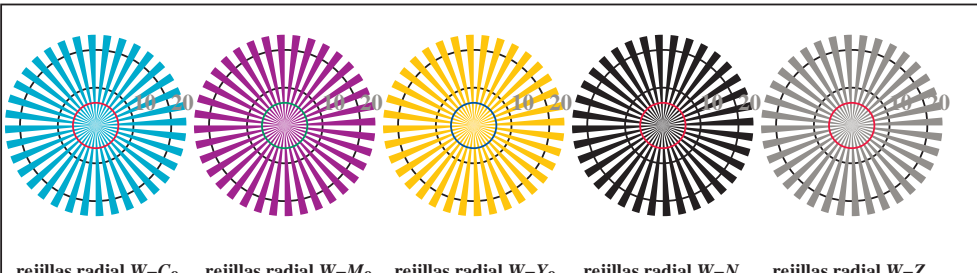


véa archivos semejantes: <http://130.149.60.45/~farbmefrik/TS99/TS99L0FP.PDF /PS>  
información técnica: <http://www.ps.bam.de o http://130.149.60.45/~farbmefrik/TS99/TS99.HTML>

V L O Y M C  
http://130.149.60.45/~farbmefrik/TS99/TS99L0FP.PDF /.PS; 3D-linealización  
F: 3D-linealización TS99/TS99LS30FP.DAT en archivo (F), página 2/2

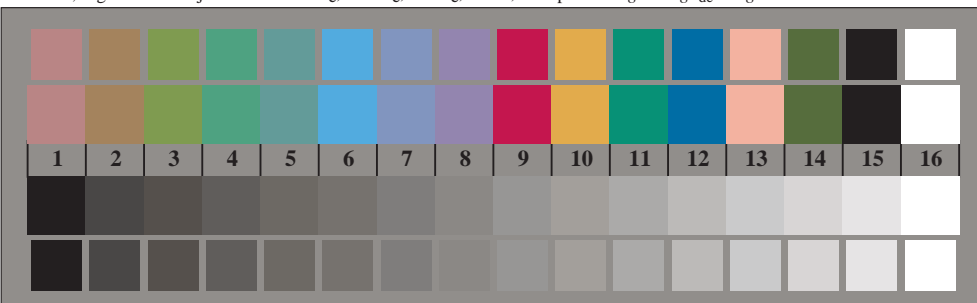


TS990-3, Fig. B1Wde: motivos florales, CIE 14 colores del test y 2 + 16 pasos de gris (sf); PS operator 4 colorimage



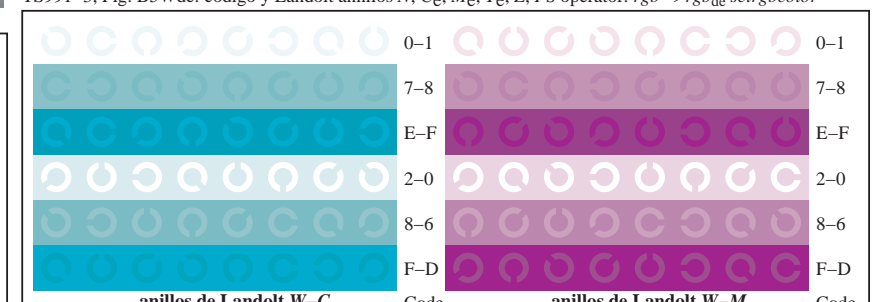
rejillas radial  $W-C_e$  rejillas radial  $W-M_e$  rejillas radial  $W-Y_e$  rejillas radial  $W-N$  rejillas radial  $W-Z$

TS990-5, Fig. B2Wde: rejillas radial  $W-C_e$ ;  $W-M_e$ ;  $W-Y_e$ ;  $W-N$ ; PS operator:  $rgb \rightarrow rgb_{de}$  setrgbcolor

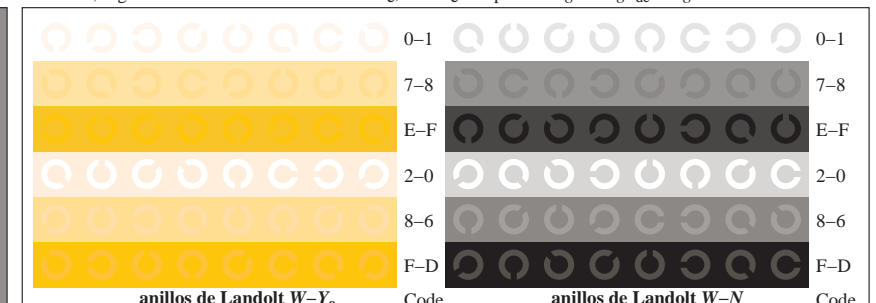


TS990-7, Fig. B3Wde: CIE 14 colores del test y 2 + 16 pasos de gris (nf); PS operator:  $rgb/cmy0 \rightarrow rgb_{de}$  setrgbcolor

gráfico TS99; 2(ISO/IEC 15775 + ISO/IEC TR 24705)  
test cromático gráfico CMY, 3D=1, de=1, cmyk\*



TS991-5, Fig. B6Wde: anillos de Landolt  $W-C_e$ ;  $W-M_e$  PS operator:  $rgb \rightarrow rgb_{de}$  setrgbcolor



TS991-7, Fig. B7Wde: anillos de Landolt  $W-Y_e$ ;  $W-N$  PS operator:  $rgb \rightarrow rgb_{de}$  setrgbcolor

entrada:  $rgb/cmyk \rightarrow rgb_{de}$   
salida: 3D-linealización a  $cmyk^*_{de}$